

# 等温捷径与绝热捷径构成的类卡诺热机的效率与功率

龚政楠

北京师范大学

2021 年 3 月 20 日



# 目录

- ① 引言：热机的功率与效率问题
- ② 有限时间热力学
  - 有限时间热机模型
  - 绝热捷径
  - 等温捷径
- ③ 类卡诺热机的功率与效率
  - 类卡诺热机模型
  - 过阻尼布朗粒子
  - 欠阻尼布朗粒子



# 引言：热机的功率与效率问题



# 引言：热机的功率与效率问题

- 1824, 卡诺指出<sup>[1]</sup>: 工作在相同高温热源和相同低温热源的所有热机中, 以可逆热机的效率最高, 为  $\eta_C = 1 - \frac{c}{h}$



## 引言：热机的功率与效率问题

- 1824, 卡诺指出<sup>[1]</sup>: 工作在相同高温热源和相同低温热源的所有热机中, 以可逆热机的效率最高, 为  $\eta_C = 1 - \frac{c}{h}$
- 1975 年, Curzon 和 Ahlborn 研究了内可逆热机<sup>[2]</sup>, 得到了该热机在最大功率下的效率为  $\eta_{CA} = 1 - \sqrt{1 - \eta_C}$



## 引言：热机的功率与效率问题

- 1824, 卡诺指出<sup>[1]</sup>: 工作在相同高温热源和相同低温热源的所有热机中, 以可逆热机的效率最高, 为  $\eta_C = 1 - \frac{c}{h}$
- 1975 年, Curzon 和 Ahlborn 研究了内可逆热机<sup>[2]</sup>, 得到了该热机在最大功率下的效率为  $\eta_{CA} = 1 - \sqrt{1 - \eta_C}$
- 2008 年, T. Schmiedl 和 U. Seifert 提出了布朗随机热机模型<sup>[3]</sup>, 最大功率下的效率为  $\frac{2\eta_C}{4 - \eta_C}$



## 引言：热机的功率与效率问题

- 1824, 卡诺指出<sup>[1]</sup>: 工作在相同高温热源和相同低温热源的所有热机中, 以可逆热机的效率最高, 为  $\eta_C = 1 - \frac{c}{h}$
- 1975 年, Curzon 和 Ahlborn 研究了内可逆热机<sup>[2]</sup>, 得到了该热机在最大功率下的效率为  $\eta_{CA} = 1 - \sqrt{1 - \eta_C}$
- 2008 年, T. Schmiedl 和 U. Seifert 提出了布朗随机热机模型<sup>[3]</sup>, 最大功率下的效率为  $\frac{2\eta_C}{4 - \eta_C}$
- 同年, 涂展春推导出费曼棘轮热机<sup>[4]</sup> 在最大功率下的效率  $\frac{\eta_C^2}{\eta_C - (1 - \eta_C) \ln(1 - \eta_C)}$ .<sup>[5]</sup>



## 引言：热机的功率与效率问题

- 1824, 卡诺指出<sup>[1]</sup>: 工作在相同高温热源和相同低温热源的所有热机中, 以可逆热机的效率最高, 为  $\eta_C = 1 - \frac{c}{h}$
- 1975 年, Curzon 和 Ahlborn 研究了内可逆热机<sup>[2]</sup>, 得到了该热机在最大功率下的效率为  $\eta_{CA} = 1 - \sqrt{1 - \eta_C}$
- 2008 年, T. Schmiedl 和 U. Seifert 提出了布朗随机热机模型<sup>[3]</sup>, 最大功率下的效率为  $\frac{2\eta_C}{4 - \eta_C}$
- 同年, 涂展春推导出费曼棘轮热机<sup>[4]</sup> 在最大功率下的效率  $\frac{\eta_C^2}{\eta_C - (1 - \eta_C) \ln(1 - \eta_C)}$ .<sup>[5]</sup>
- 2013 年, 涂展春在 Schmiedl 和 Seifert 工作<sup>[3]</sup> 的基础上, 考虑了他们在过阻尼情况下忽略的惯性的影响, 构建了一种类卡洛热机<sup>[6]</sup>. 发现这种随机热机在最大功率下的效率等于  $\eta_{CA}$





# CA 内可逆热机模型

## Curzon 和 Ahlborn 的假设

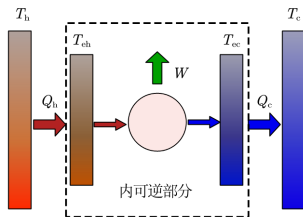


图 1: CA 内可逆热机



# CA 内可逆热机模型

## Curzon 和 Ahlborn 的假设

- 内可逆假设

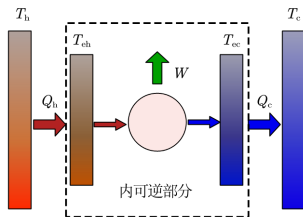


图 1: CA 内可逆热机



# CA 内可逆热机模型

## Curzon 和 Ahlborn 的假设

- 内可逆假设
- 绝热过程熵产生为零

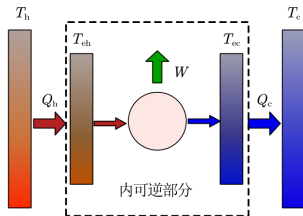


图 1: CA 内可逆热机



# CA 内可逆热机模型

## Curzon 和 Ahlborn 的假设

- 内可逆假设
- 绝热过程熵产生为零
- 绝热过程与等温过程所用的时间成正比，即循环总时间为 $t_0 = a(t_h + t_c)$

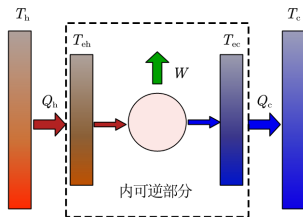


图 1: CA 内可逆热机



# CA 内可逆热机模型

## Curzon 和 Ahlborn 的假设

- 内可逆假设
- 绝热过程熵产生为零
- 绝热过程与等温过程所用的时间成正比，即循环总时间为 $t_0 = a(t_h + t_c)$
- 线性热传输假设，即

$$Q_h = \kappa_h (T_h - T_{eh}) t_h \quad (1)$$

$$Q_c = \kappa_c (T_{ec} - T_c) t_c$$

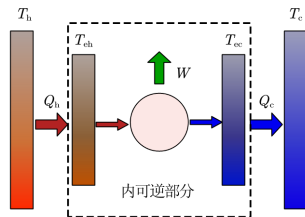


图 1: CA 内可逆热机



# CA 内可逆热机模型

## CA 热机的功率

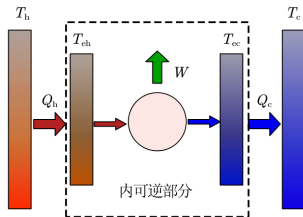


图 1: CA 内可逆热机



# CA 内可逆热机模型

## CA 热机的功率

输出功率

$$P(T_{eh}, T_{ec}) = \frac{T_{eh} - T_{ec}}{\frac{T_{eh}}{a\kappa_h(T_h - T_{eh})} + \frac{T_{ec}}{a\kappa_c(T_{ec} - T_c)}} \quad (2)$$

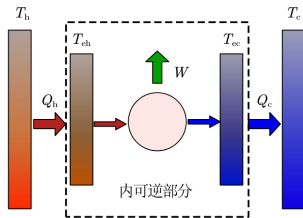


图 1: CA 内可逆热机



# CA 内可逆热机模型

## CA 热机的功率

输出功率

$$P(T_{eh}, T_{ec}) = \frac{T_{eh} - T_{ec}}{\frac{T_{eh}}{a\kappa_h(T_h - T_{eh})} + \frac{T_{ec}}{a\kappa_c(T_{ec} - T_c)}} \quad (2)$$

针对  $T_{eh}, T_{ec}$  使功率取最大值

$$T_{eh}^* = \frac{\sqrt{\kappa_h T_h} + \sqrt{\kappa_c T_c}}{\sqrt{\kappa_h} + \sqrt{\kappa_c}} \sqrt{T_h} \quad (3)$$

$$T_{ec}^* = \frac{\sqrt{\kappa_h T_h} + \sqrt{\kappa_c T_c}}{\sqrt{\kappa_h} + \sqrt{\kappa_c}} \sqrt{T_c}$$

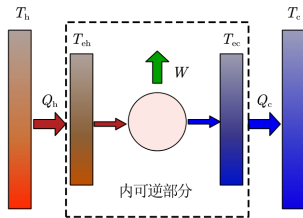


图 1: CA 内可逆热机





# CA 内可逆热机模型

## CA 热机在最大功率下的效率

根据  $\eta = 1 - T_{\text{ec}}/T_{\text{eh}}$  就可以得到

$$\eta_{\text{CA}} = 1 - \sqrt{1 - \eta_{\text{C}}} \quad (4)$$



# TU 布朗随机热机模型

## TU 布朗随机热机的假设

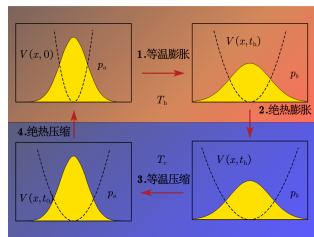


图 2: TU 布朗随机热机模型



# TU 布朗随机热机模型

## TU 布朗随机热机的假设

- 两个绝热过程是在瞬间完成的， $t_0 = (t_h + t_c)$

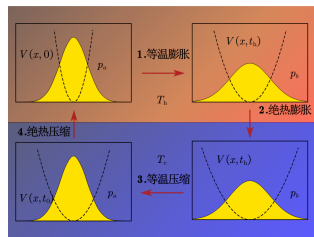


图 2: TU 布朗随机热机模型



# TU 布朗随机热机模型

## TU 布朗随机热机的假设

- 两个绝热过程是在瞬间完成的， $t_0 = (t_h + t_c)$
- 两个绝热过程中不可逆熵产生为零

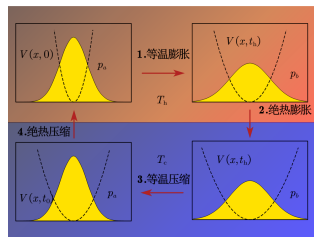


图 2: TU 布朗随机热机模型



# TU 布朗随机热机模型

## TU 布朗随机热机的假设

- 两个绝热过程是在瞬间完成的， $t_0 = (t_h + t_c)$
- 两个绝热过程中不可逆熵产生为零
- 过阻尼假设，不考虑惯性的影响

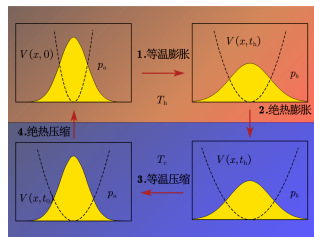


图 2: TU 布朗随机热机模型



# TU 布朗随机热机的功率

## TU 布朗随机热机

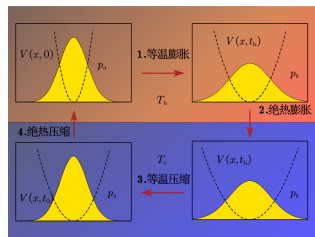


图 2: TU 布朗随机热机模型



# TU 布朗随机热机的功率

## TU 布朗随机热机

### 平均功输出

$$-W = (T_h - T_c) \Delta S - (1/t_h + 1/t_c) A_{\text{irr}} \quad (5)$$

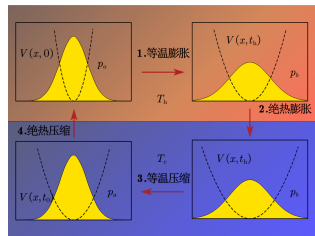


图 2: TU 布朗随机热机模型



# TU 布朗随机热机的功率

## TU 布朗随机热机

平均功输出

$$-W = (T_h - T_c) \Delta S - (1/t_h + 1/t_c) A_{\text{irr}} \quad (5)$$

吸收热

$$Q = T_h \Delta S - A_{\text{irr}}/t_h \quad (6)$$

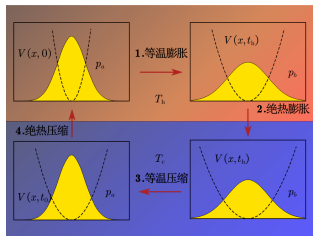


图 2: TU 布朗随机热机模型





# TU 布朗随机热机的功率

## TU 布朗随机热机

平均功输出

$$-W = (T_h - T_c) \Delta S - (1/t_h + 1/t_c) A_{\text{irr}} \quad (5)$$

吸收热

$$Q = T_h \Delta S - A_{\text{irr}}/t_h \quad (6)$$

功率

$$P = \frac{(T_h - T_c) \Delta S - (1/t_h + 1/t_c) A_{\text{irr}}}{t_h + t_c} \quad (7)$$

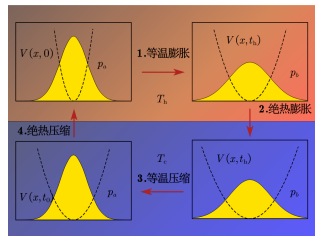


图 2: TU 布朗随机热机模型



# TU 布朗随机热机

## TU 布朗随机热机的效率

通过优化  $t_1$ ,  $t_2$  不难得到, 最大功率时的效率为

$$\eta^* = \frac{\eta_C}{2 - \eta_C/2} \quad (8)$$



# 绝热捷径

为了在有限时间内实现平衡态的转化，Demirplak and Rice [7] 和 Berry [8] 独立发展出了绝热捷径的策略。



# 绝热捷径

为了在有限时间内实现平衡态的转化，Demirplak and Rice [7] 和 Berry [8] 独立发展出了绝热捷径的策略。  
依赖于时间缓变的  $H_0(t)$ ，绝热定理 [9]

$$|\psi(t)\rangle = |n(t)\rangle e^{i\theta_n(t)} e^{i\gamma_n(t)},$$
$$\theta_n(t) = -\frac{1}{\hbar} \int_0^t E_n(t') dt', \quad \gamma_n(t) = i \int_0^t \langle n(t') | \partial_{t'} n(t') \rangle dt' \quad (9)$$



# 绝热捷径

为了在有限时间内实现平衡态的转化，Demirplak and Rice [7] 和 Berry [8] 独立发展出了绝热捷径的策略。  
依赖于时间缓变的  $H_0(t)$ ，绝热定理 [9]

$$|\psi(t)\rangle = |n(t)\rangle e^{i\theta_n(t)} e^{i\gamma_n(t)},$$

$$\theta_n(t) = -\frac{1}{\hbar} \int_0^t E_n(t') dt', \quad \gamma_n(t) = i \int_0^t \langle n(t') | \partial_{t'} n(t') \rangle dt' \quad (9)$$

若有  $H(t)$  使得绝热定理严格成立



# 绝热捷径

为了在有限时间内实现平衡态的转化，Demirplak and Rice [7] 和 Berry [8] 独立发展出了绝热捷径的策略。  
依赖于时间缓变的  $H_0(t)$ ，绝热定理 [9]

$$|\psi(t)\rangle = |n(t)\rangle e^{i\theta_n(t)} e^{i\gamma_n(t)},$$

$$\theta_n(t) = -\frac{1}{\hbar} \int_0^t E_n(t') dt', \quad \gamma_n(t) = i \int_0^t \langle n(t') | \partial_{t'} n(t') \rangle dt' \quad (9)$$

若有  $H(t)$  使得绝热定理严格成立

$$H(t) = H_0(t) + i\hbar \sum_m (|\partial_t m\rangle \langle m| - \langle m | \partial_t m \rangle |m\rangle \langle m|)$$

$$\equiv H_0 + H_1 \quad (10)$$



# 绝热捷径

在经典的情形下，对于随时间缓变的  $H_0(t)$ ，也可以引入辅助哈密顿量  $H_1(t)$ ，使得绝热不变量严格守恒

$$I(E, \lambda) \equiv \int d\eta \theta [E - H_0(z; \lambda)] \quad (11)$$



# 绝热捷径

在经典的情形下，对于随时间缓变的  $H_0(t)$ ，也可以引入辅助哈密顿量  $H_1(t)$ ，使得绝热不变量严格守恒

$$I(E, \lambda) \equiv \int d\eta \theta [E - H_0(z; \lambda)] \quad (11)$$

## 谐振子势场中的辅助势

根据 Jarzynski 的计算<sup>[10]</sup>，对于依赖于时间的谐振子势

$$H_0(\eta; \lambda(t)) = \frac{p^2}{2} + \frac{q^2}{2\lambda(t)^2} \quad (12)$$





# 绝热捷径

在经典的情形下，对于随时间缓变的  $H_0(t)$ ，也可以引入辅助哈密顿量  $H_1(t)$ ，使得绝热不变量严格守恒

$$I(E, \lambda) \equiv \int d\eta \theta [E - H_0(z; \lambda)] \quad (11)$$

## 谐振子势场中的辅助势

根据 Jarzynski 的计算<sup>[10]</sup>，对于依赖于时间的谐振子势

$$H_0(\eta; \lambda(t)) = \frac{p^2}{2} + \frac{q^2}{2\lambda(t)^2} \quad (12)$$

其相应的辅助势为

$$H_1(\eta; \lambda(t)) = \frac{\dot{\lambda}}{2\lambda} qp \quad (13)$$



# 利用绝热捷径实现平衡态的转化

考虑谐振子势式(12)，施加辅助哈密顿量之后的新哈密顿量为

$$H(t) = \frac{p^2}{2} + \frac{q^2}{2\lambda(t)^2} + \frac{\dot{\lambda}}{2\lambda(t)} qp, \quad (14)$$



# 利用绝热捷径实现平衡态的转化

考虑谐振子势式(12)，施加辅助哈密顿量之后的新哈密顿量为

$$H(t) = \frac{p^2}{2} + \frac{q^2}{2\lambda(t)^2} + \frac{\dot{\lambda}}{2\lambda(t)} qp, \quad (14)$$

可以得到运动方程

$$\begin{cases} \dot{q} = \frac{\partial H}{\partial p} = \frac{p}{m} + \frac{\lambda(t)}{2\lambda(t)} q \\ \dot{p} = -\frac{\partial H}{\partial q} = -2\frac{q}{\lambda^2(t)} - \frac{\dot{\lambda}(t)}{2\lambda(t)} p \end{cases} \quad (15)$$



# 利用绝热捷径实现平衡态的转化

## 平衡态的转化

设初态为平衡态

$$\rho_i = \frac{\beta_i}{2\pi\lambda_i} \exp[-\beta_i H_0(t_i)] \quad (16)$$



# 利用绝热捷径实现平衡态的转化

## 平衡态的转化

设初态为平衡态

$$\rho_i = \frac{\beta_i}{2\pi\lambda_i} \exp[-\beta_i H_0(t_i)] \quad (16)$$

假设末态为等效温度为  $\beta_f$  的平衡态

$$\rho_f = \frac{\beta_f}{2\pi\lambda_f} \exp[-\beta_f H_0(t_f)] \quad (17)$$



# 利用绝热捷径实现平衡态的转化

## 平衡态的转化

设初态为平衡态

$$\rho_i = \frac{\beta_i}{2\pi\lambda_i} \exp[-\beta_i H_0(t_i)] \quad (16)$$

假设末态为等效温度为  $\beta_f$  的平衡态

$$\rho_f = \frac{\beta_f}{2\pi\lambda_f} \exp[-\beta_f H_0(t_f)] \quad (17)$$

鉴于  $\rho_f = \rho_i$ ,  $\frac{dH_0(t)}{dt} = -H_0(t) \frac{d \ln \lambda(t)}{dt}$ , 得到 [6]

$$\frac{\beta_f}{\lambda_f} = \frac{\beta_i}{\lambda_i} \quad (18)$$



# 等温捷径

为了实现等温平衡态之间的相互转化，类似于绝热捷径，李耿等人<sup>[11]</sup>发展出了等温捷径的策略。



# 等温捷径

为了实现等温平衡态之间的相互转化，类似于绝热捷径，李耿等人<sup>[11]</sup>发展出了等温捷径的策略。

为系统施加一个额外的辅助势场，使得哈密顿量成为

$$H(q, p, t) = H_0(q, p, \lambda(t)) + U_1(q, p, t) \quad (19)$$





## 等温捷径

为了实现等温平衡态之间的相互转化，类似于绝热捷径，李耿等人<sup>[11]</sup>发展出了等温捷径的策略。

为系统施加一个额外的辅助势场，使得哈密顿量成为

$$H(q, p, t) = H_0(q, p, \lambda(t)) + U_1(q, p, t) \quad (19)$$

分布函数  $\rho(q, p, t)$  的演化由福克-普朗克方程决定

$$\frac{\partial \rho}{\partial t} + \nabla \cdot \mathbf{J} = 0 \quad (20)$$

$$\mathbf{J} \equiv \rho \left( p + \frac{\partial U}{\partial p} \right) \hat{\mathbf{q}} - \rho \left( \gamma p + \frac{\partial U}{\partial q} + \frac{\partial U}{\partial p} + \frac{\gamma}{\rho \beta} \frac{\partial \rho}{\partial p} \right) \hat{\mathbf{p}}$$



# 等温捷径

## 等温平衡态的转化

系统在原哈密顿下的瞬时平衡态

$$\rho(q, p, t) = e^{\beta[F(\lambda(t)) - H_0(x, p, \lambda(t))]} \quad (21)$$



# 等温捷径

## 等温平衡态的转化

系统在原哈密顿下的瞬时平衡态

$$\rho(q, p, t) = e^{\beta[F(\lambda(t)) - H_0(x, p, \lambda(t))]} \quad (21)$$

要使系统始终保持瞬时平衡态，将上式(21)代入方程(20)，得到<sup>[11]</sup>

$$\frac{\gamma}{\beta} \frac{\partial^2 U_1}{\partial p^2} - \gamma p \frac{\partial U_1}{\partial p} + \frac{\partial U_0}{\partial q} \frac{\partial U_1}{\partial p} - p \frac{\partial U_1}{\partial q} = \left( \frac{dF}{d\lambda} - \frac{\partial U_0}{\partial \lambda} \right) \dot{\lambda} \quad (22)$$



# 等温捷径

## 等温平衡态的转化

系统在原哈密顿下的瞬时平衡态

$$\rho(q, p, t) = e^{\beta[F(\lambda(t)) - H_0(x, p, \lambda(t))]} \quad (21)$$

要使系统始终保持瞬时平衡态，将上式(21)代入方程(20)，得到<sup>[11]</sup>

$$\frac{\gamma}{\beta} \frac{\partial^2 U_1}{\partial p^2} - \gamma p \frac{\partial U_1}{\partial p} + \frac{\partial U_0}{\partial q} \frac{\partial U_1}{\partial p} - p \frac{\partial U_1}{\partial q} = \left( \frac{dF}{d\lambda} - \frac{\partial U_0}{\partial \lambda} \right) \dot{\lambda} \quad (22)$$

利用上式(22)也可以得到，对谐振子势  $U_0(q, \lambda(t)) = q^2/2\lambda(t)^2$

$$U_1(q, p, t) = -\frac{\dot{\lambda}(t)}{2\gamma\lambda(t)} [(p - \gamma q)^2 + q^2/\lambda(t)^2] \quad (23)$$



# 类卡诺热机模型

## 类卡诺热机模型的假设

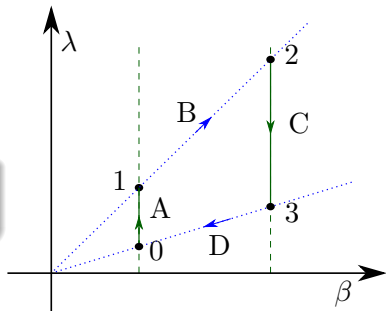


图 3: 类卡诺热机模型



# 类卡诺热机模型

## 类卡诺热机模型的假设

- 忽略绝热捷径过程的时间

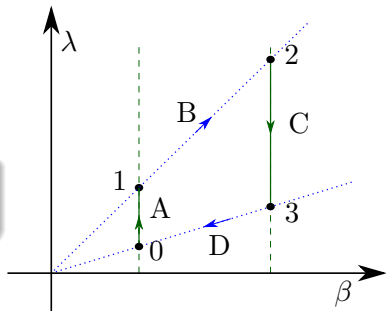


图 3: 类卡诺热机模型



- [1] 赵凯华 and 罗蔚茵. 新概念物理教程：热学. 高等教育出版社, 北京, 2005.
- [2] F. L. Curzon and B. Ahlborn. Efficiency of a Carnot engine at maximum power output. *American Journal of Physics*, 1975.
- [3] T. Schmiedl and U. Seifert. Efficiency at maximum power: An analytically solvable model for stochastic heat engines. *EPL*, 2008.
- [4] Z. C. Tu. Efficiency at maximum power of Feynman's ratchet as a heat engine. *Journal of Physics A: Mathematical and Theoretical*, 2008.
- [5] Zhan-Chun Tu. Abstract models for heat engines. *Frontiers of Physics*, 16(3):33202, 2020.
- [6] Z. C. Tu. Stochastic heat engine with the consideration of inertial effects and shortcuts to adiabaticity. *Physical Review E - Statistical, Nonlinear, and Soft Matter Physics*, 89(5):1–9, 2014.
- [7] Mustafa Demirplak and Stuart A. Rice. Adiabatic population transfer with control fields. *Journal of Physical Chemistry A*, 107(46):9937–9945, 2003.



- [8] M. V. Berry. Transitionless quantum driving. *Journal of Physics A: Mathematical and Theoretical*, 42(36):1–9, 2009.
- [9] David J. Griffiths and Darrell F. Schroeter. *Introduction to Quantum Mechanics*. Cambridge University Press, 2018.
- [10] Christopher Jarzynski. Generating shortcuts to adiabaticity in quantum and classical dynamics. *Physical Review A - Atomic, Molecular, and Optical Physics*, 88(4):1–5, 2013.
- [11] Geng Li, H. T. Quan, and Z. C. Tu. Shortcuts to isothermality and nonequilibrium work relations. *Physical Review E*, 96(1):1–11, 2017.

